

FOTO AO 1 y AO 2.- Falla Paleozoico-Terciario al N de Rinconada.



FOTO AO 10.- Aspecto general del Paleógeno al S de Blascomillán



FOTO AO 11 y AO 12 - Areniscas del Paleógeno al SE de Casas de Arevalillo.

FOTO AO 11 y AO 12 - Areniscas del Paleógeno al SE de Casas de Arevalillo.

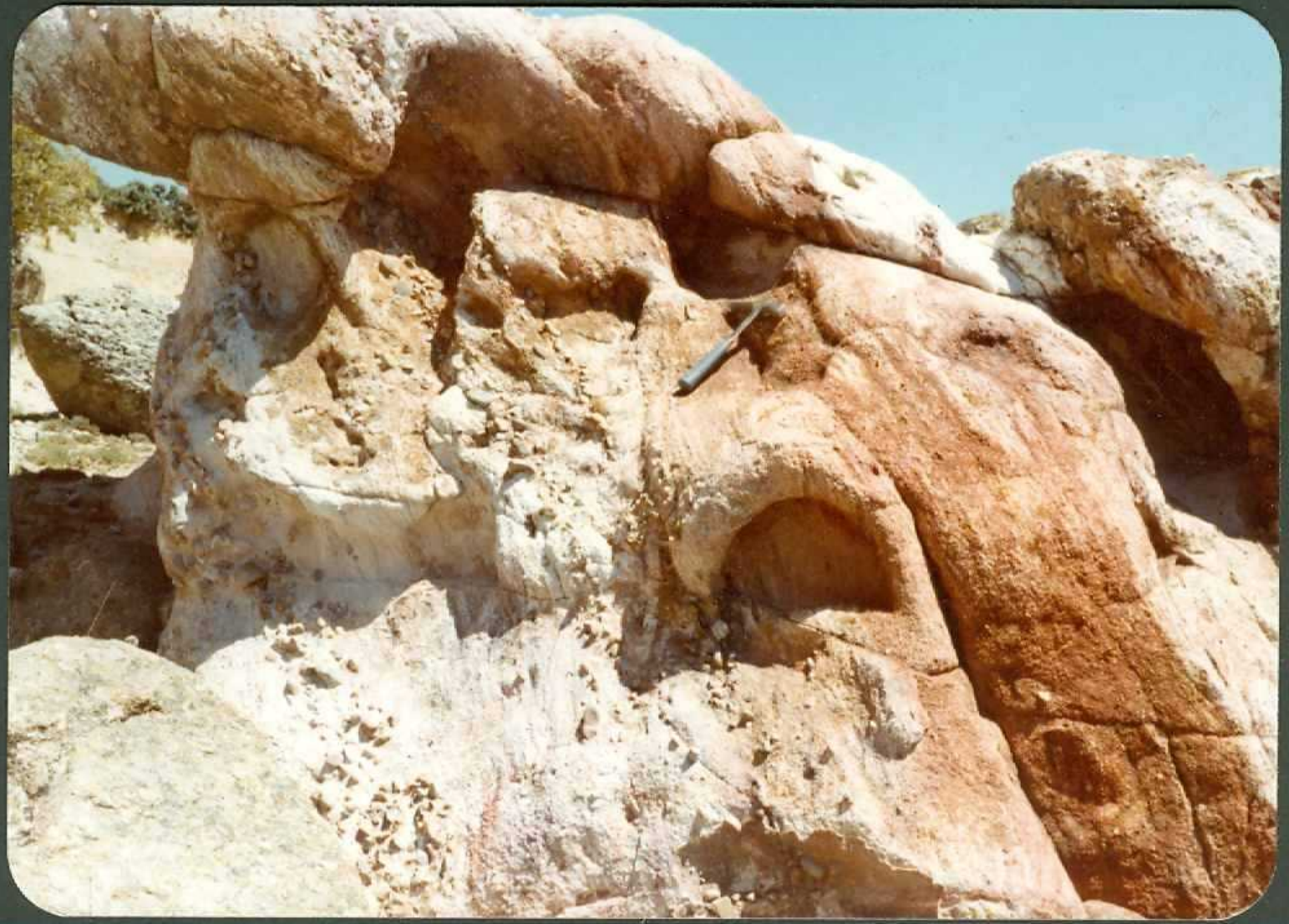




FOTO AO 13 y AO 14.- Aspecto general del Paleógeno al SE de Casas de Arevalillo y detalle de las areniscas.

FOTO AO 13 y AO 14.- Aspecto general del Paleógeno al SE de Casas de Arevalillo y detalle de las areniscas.

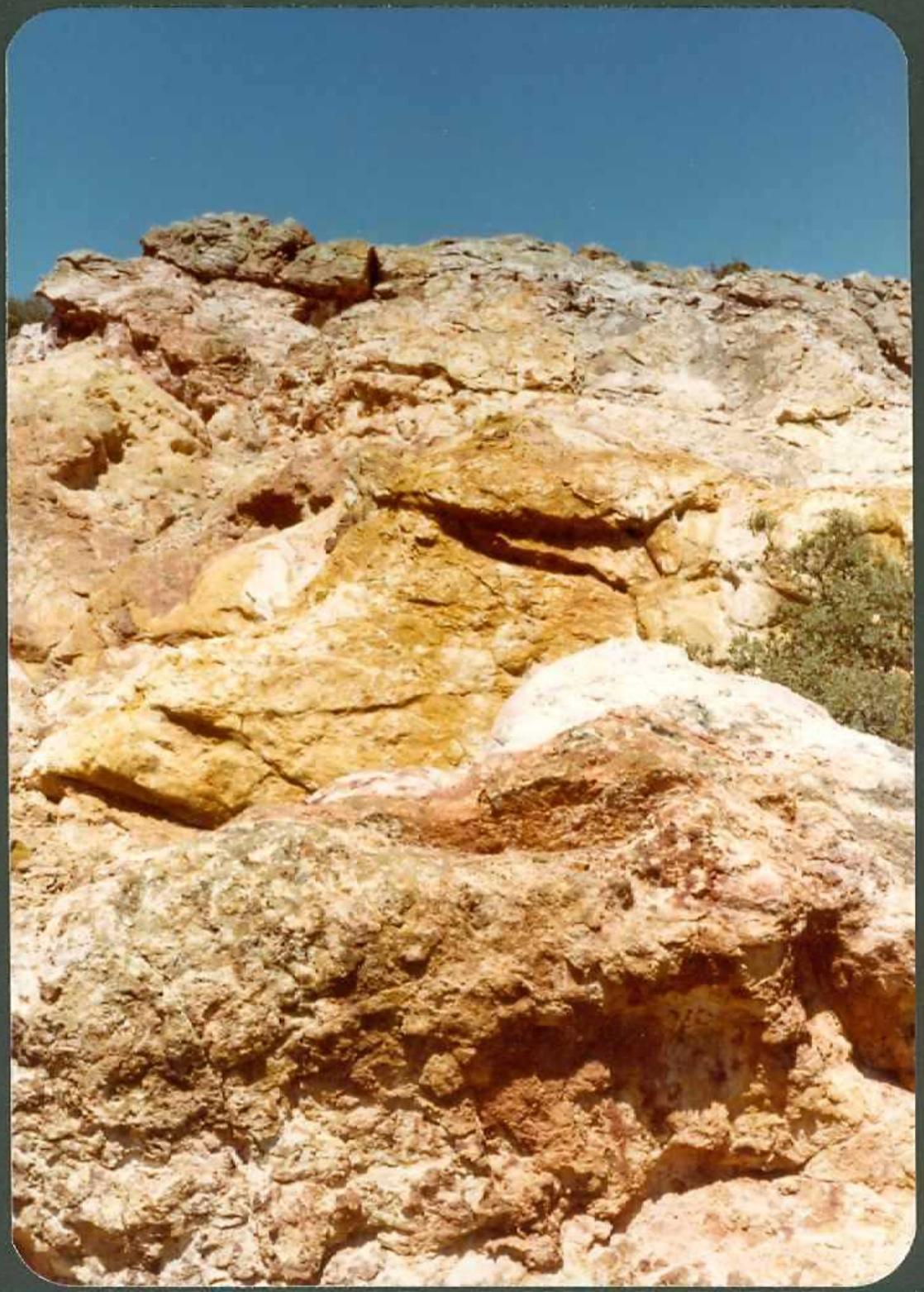




FOTO AO 15 y AO 16.- "Unidad Peñalba" al N de Cillán.

FOTO AO 15 y AO 16.- "Unidad Peñalba" al N de Cillán.





FOTO AO 17 y AO 18.- "Unidad Peñalba" en la zona de Casas de Miranda.

FOTO AO 17 y AO 18.- "Unidad Peñalba" en la zona de Casas de Miranda.





FOTO AO 19 y AO 20.- Zona de canal de la "Unidad de Villaflor" y detalle del mismo al S de Herreros de Suso

FOTO AO 1 y AO 2.- Falla Paleozoico-Terciario al N de Rinconada.

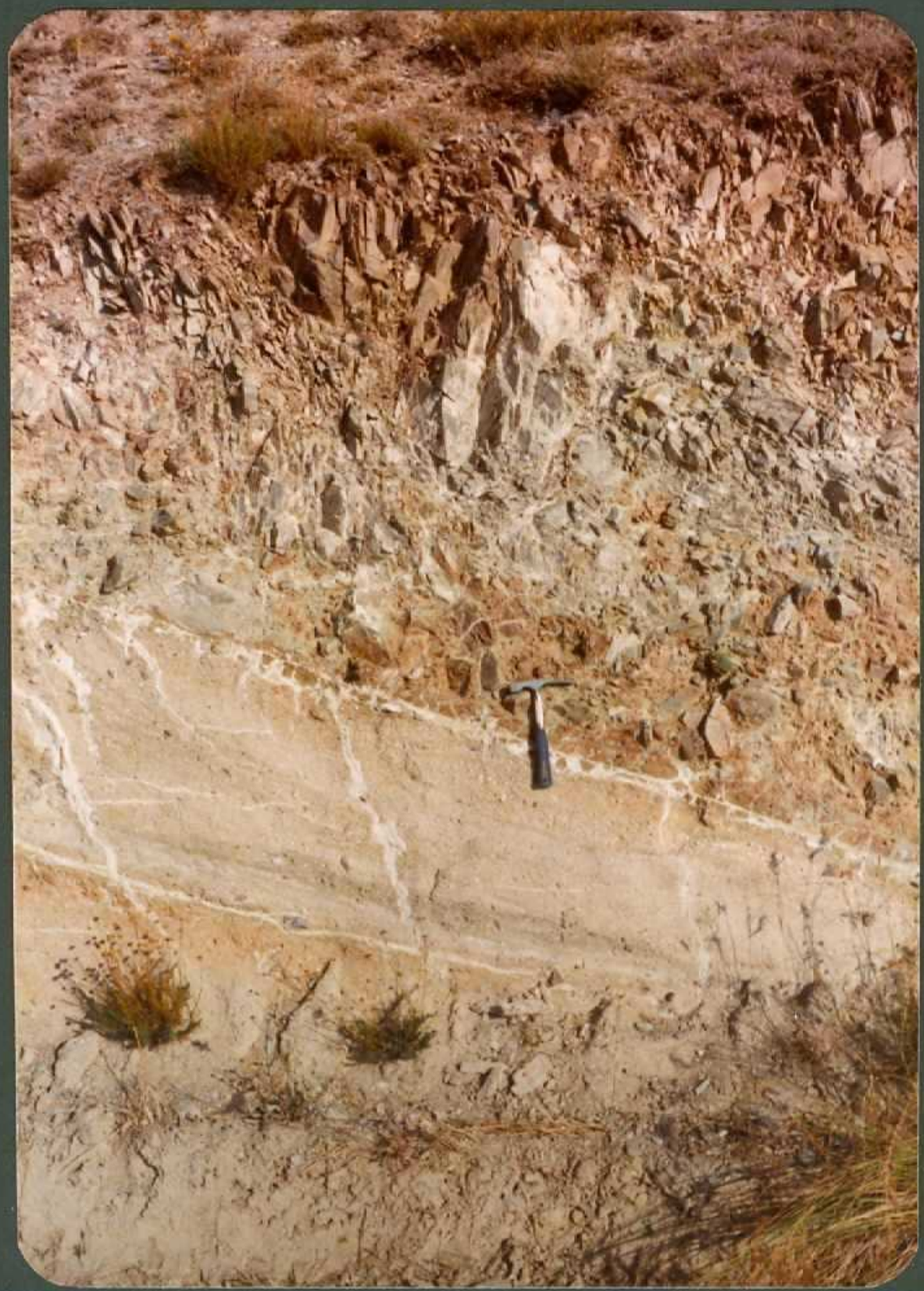


FOTO AO 19 y AO 20.- Zona de canal de la "Unidad de Villaflor" y detalle del mismo al S de Herreros de Suso





FOTO AO 21.- "Unidad Villaflor"al S de Villaflor.



FOTO AO 22.- "Unidad S. Pedro del Arroyo" al S de Herreros de Suso.



FOTO AO 23 y AO 24.- Depósitos de vertiente antigua al SW de Herreros de Suso.

OTO AO 23 y AO 24.- Depósitos de vertiente antigua al SW de Herreros de Suso.





FOTO AO 25.- Vertiente antigua al W de Blascomillán.



FOTO AO 26.- Aluvial y depósito de ladera a S de Blascomillán.



FOTO AO 3.- Falla Paleozoico-Terciario en la carretera al W de Muñico.



FOTO AO 4.- Falla Paleozoico-Terciario al N de Solana.



FOTO AO 5 y AO 6.- Paleógeno discordante sobre materiales metamórficos al S de Blascomillán.

FOTO AO 5 y AO 6.- Paleógeno discordante sobre materiales metamórficos al S de Blascomillán.

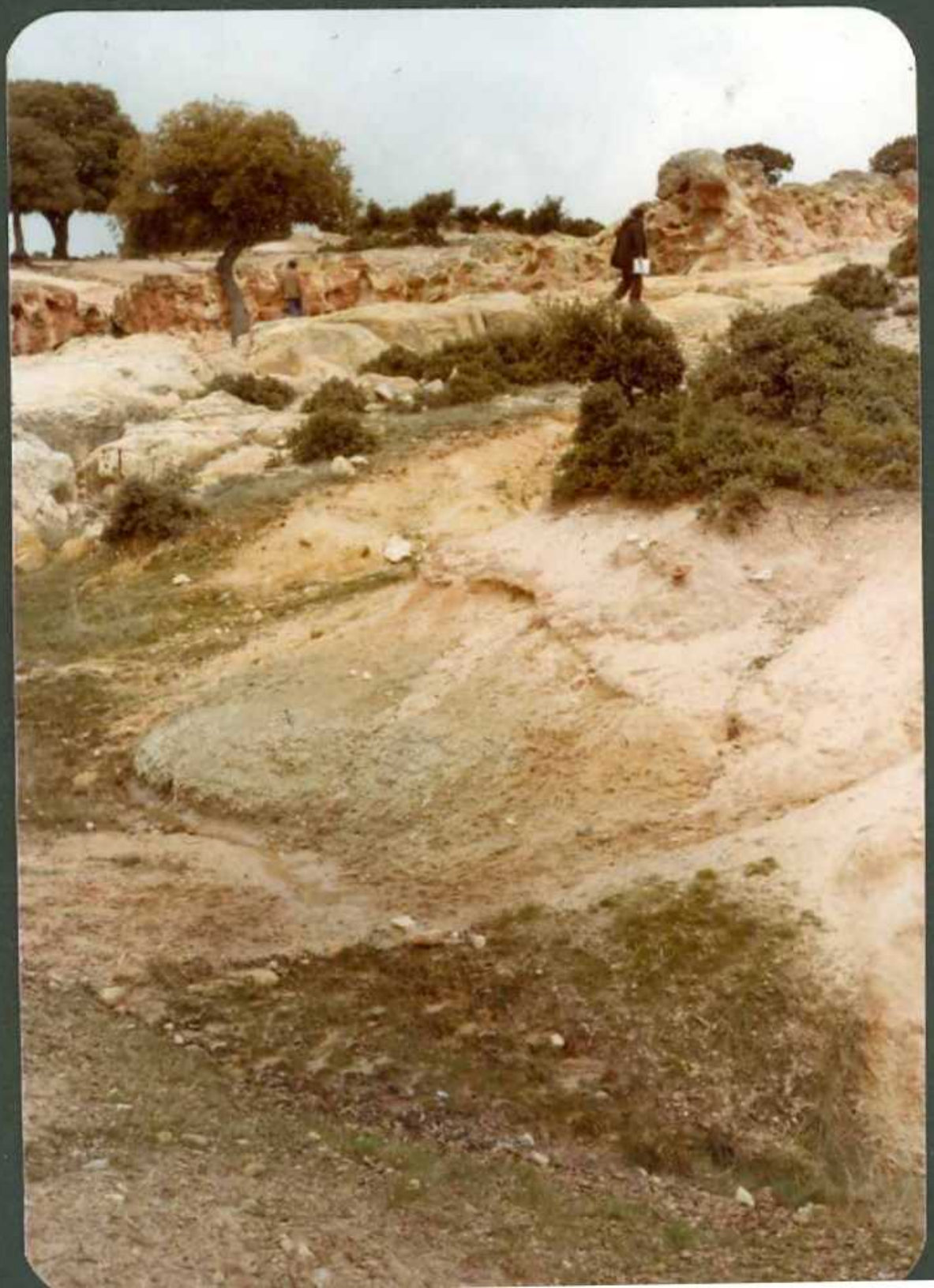




FOTO AO 7.- Paleógeno discordante sobre granitos al SE de Casas de Arevalillo.



FOTO AO 8.- Areniscas "tigreadas" del Paleógeno al S de Blascomillán.



FOTO AO 9.- Areniscas del Paleógeno en la zona de Vallehernando

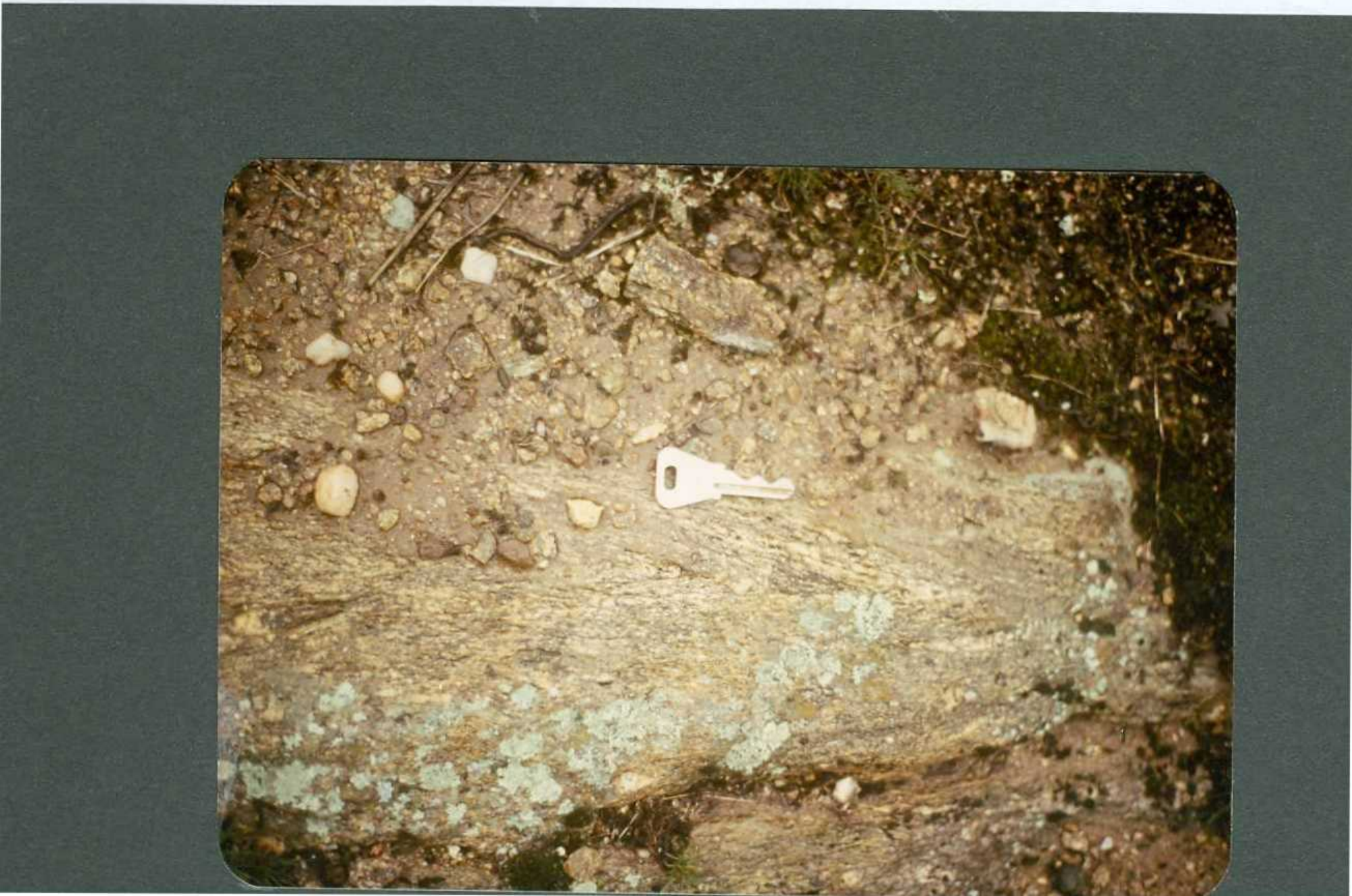


FOTOS JF1 y JF2.- Pliegues F_2 afectando al bandeado originado en F_1 en el ortoneis ($_N\gamma^2$), próximo a Gallegos de Sobrinos.

9001 9002

FOTOS JF1 y JF2.- Pliegues F_2 afectando al bandeado originado en F_1 en el ortoneis ($_N\gamma^2$), próximo a Gallegos de Sobrinos.

9001 9002





FOTOS JF3 y JF4.- Migmatitas de estructura plegada. Formación Neísico-migmatítica de Gallegos (PCℨ).

9003 9004

FOTOS JF3 y JF4.- Migmatitas de estructura plegada. Formación Neísico-migmatítica de Gallegos (PC$\mathcal{S}$).

9003 9004





FOTO JF5.- Pliegues F_2 en niveles intercalados de cuarcita (5)
9005
de la Formación metagrauváquica de Mirueña-Solana.



FOTOS JF6 y JF7.- Mismos niveles que en JF5. Están "abombinados" en F_1 y plegados por "buckling" en F_2.

9006 9007

FOTOS JF6 y JF7.- Mismos niveles que en JF5. Están "abombinados" en F_1 y plegados por "buckling" en F_2.

9006 9007





FOTOS JF8 y JF9.- Paraconglomerados (O_{11} cg) de la base del Ordovicico.

908 909

FOTOS JF8 y JF9.- Paraconglomerados (O_{11}cg) de la base del Ordovicico.

9008 9009

